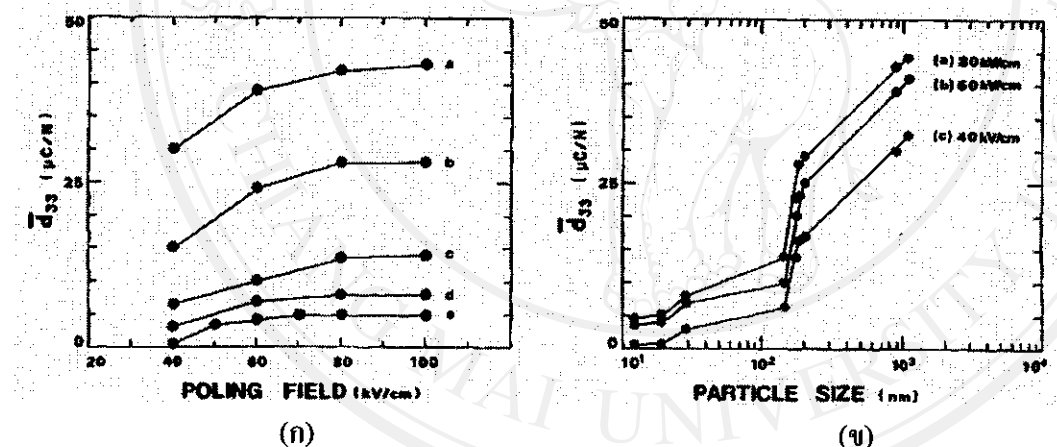


บทที่ 3 วรรณกรรมปริทัศน์

สรุปสาระสำคัญจากเอกสารที่ได้มีการวิจัยมาก่อนหน้านี้

ปี.ค. 1989 Moon-Ho Lee และคณะ [8] ได้ศึกษาถึงผลของสนามไฟฟ้า และขนาดอนุภาคที่มีต่อสมบัติพิโซไซเลกทริกในวัสดุผสมเดดไทเทเนต-อีพอกซี่ แบบ 0-3 พบว่าวัสดุผสมที่มีเซรามิกขนาดอนุภาคเล็กกว่า 200 nm จะต้องใช้เวลาเพื่อให้เกิดการอิ่มตัวของการโพล (saturation poling) มากกว่าอนุภาคขนาดใหญ่เนื่องจากการหมุน (rotation) ของผลึกที่เป็น โดเมนเดียว (single domain) ในระหว่างการโพลและนอกจากนี้ยังพบว่าค่า สัมประสิทธิ์พิโซไซเลกทริกเพิ่มขึ้น เมื่อขนาดอนุภาคใหญ่ขึ้น ดังรูป 3.1



รูป 3.1 ผลของสนามไฟฟ้า (a) และขนาดอนุภาค(b) ที่มีต่อสมบัติพิโซไซเลกทริกในวัสดุผสมเดดไทเทเนต-อีพอกซี่ [8]

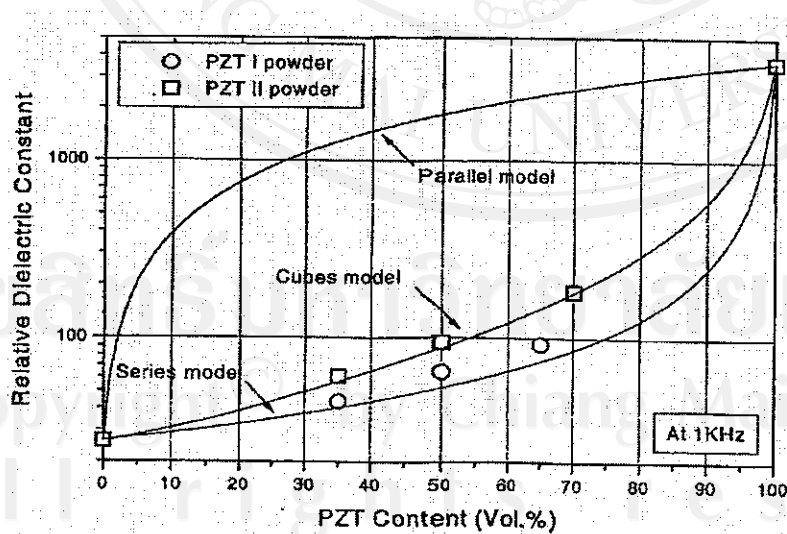
ปี.ค. 2002 Zongjin Li, Dong Zhang และ Keru Wu [9] ได้ทำการศึกษาวัสดุผสมแบบ 0-3 พิโซไซเลกทริกและปูนซีเมนต์ โดยศึกษาถึงขนาดของผงเคลือบเซอร์โคเนตไทเทเนตที่มีต่อค่าความต้านทานเสียงเชิงช่อง ค่าสัมประสิทธิ์ความไฟฟ้าเชิงกล และค่าสัมประสิทธิ์ความเครียด พิโซไซเลกทริก ผลการทดลองที่ได้แสดงดังตาราง 3.1 และยังได้มีการแสดงค่าในเชิงทฤษฎีดังกราฟรูป 3.2, 3.3 และ 3.4 นอกจากนี้ Zongjin Li, Dong Zhang และ Keru Wu ได้พบปัญหาใน

ขั้นตอนของการผสม คือ เมื่อเพิ่มปริมาณเดดเซอร์โคเนตไทเทนดามากขึ้นถึง 70 เมอร์เซ่นต์โดยปริมาตร จะเกิดการไม่เข้ากันของวัสดุผสมเกิดขึ้น

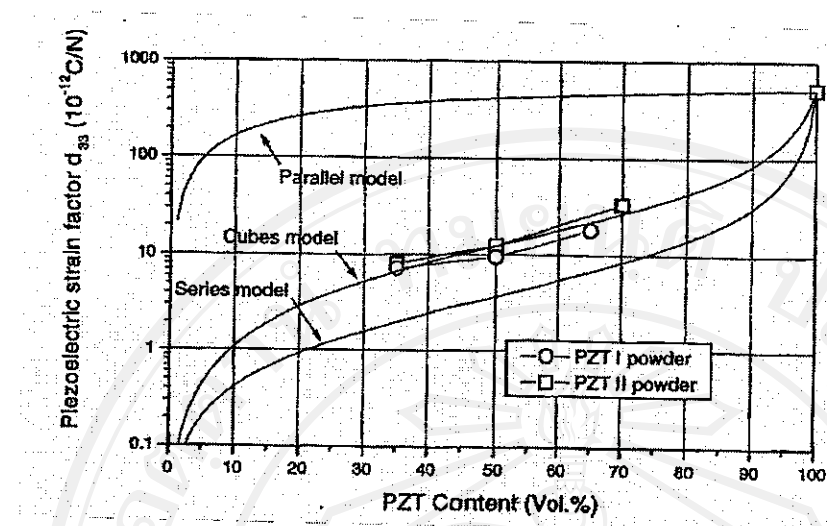
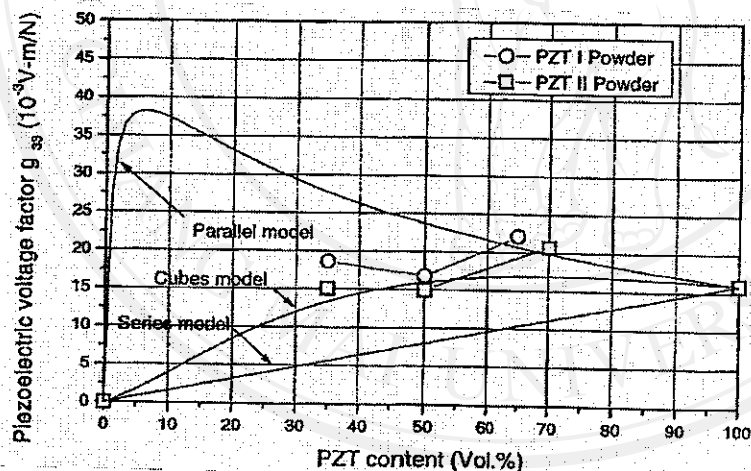
ซึ่งกลุ่มนักวิจัยดังกล่าวได้แก้ปัญหาโดยการเติมสารที่ช่วยในการยึดเหนี่ยวเช่นไบเปร์พลาสติกไซเรอร์ (superplasticizer) นอกจากนี้ยังมีปัญหาที่เป็นอุปสรรคอย่างมากในเรื่องของการทำข้าว (poling) ที่ค่อนข้างยากของวัสดุผสม ซึ่งถ้าให้สานາไฟฟ้ามากเกินไปจะทำให้เกิดการ breakdown ของวัสดุผสมได้

ตาราง 3.1 สมบัติของวัสดุผสม[9]

Specimen code	PZT Particle type	PZT particle content (vol%)	Piezoelectric Strain factor, d_{33} (10^{-12} C/N)	Piezoelectric Voltage factor, g_{33} (10^{-3} Vm/N)	Electromechanical Coupling coefficient, Kt	Dielectric constant ϵ_r
a	PZT I	35	7.2	18.6	11.6	43.5
b	PZT I	50	9.5	16.8	12.9	63.9
c	PZT I	65	18.0	22.1	18.6	92.1
d	PZT II	35	8.1	15.1	12.9	60.7
e	PZT II	50	12.5	15.0	13.2	94.2
f	PZT II	70	33.4	20.7	20.7	182.2
Matrix		0	0	0	0	26.2

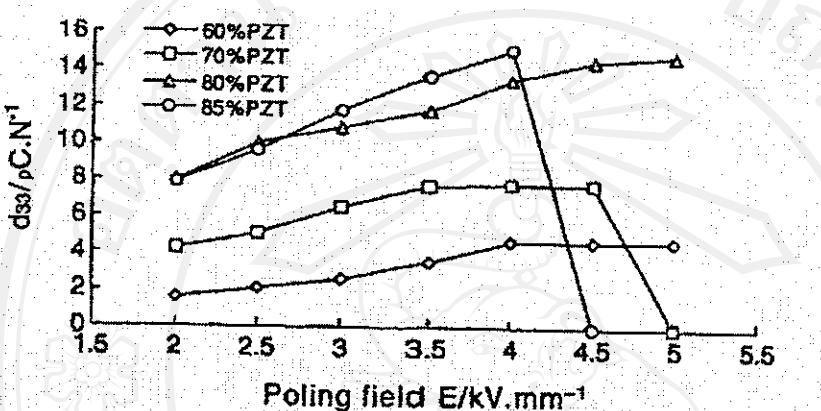


รูป 3.2 กราฟค่าในเชิงทฤษฎีค่าสภาพยอมสัมพัทธ์ ต่อปริมาณ PZT [9]

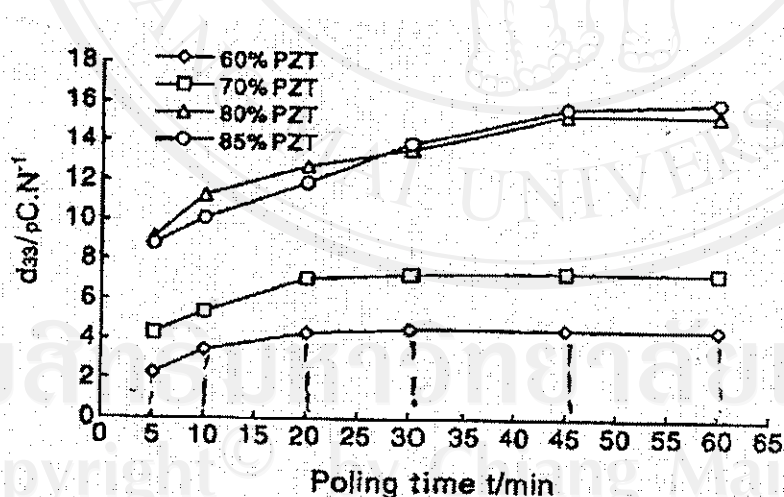
รูป 3.3 กราฟค่าในเชิงทฤษฎีค่า d_{33} ต่อ ปริมาณ PZT [9]รูป 3.4 กราฟค่าในเชิงทฤษฎีค่า g_{33} ต่อปริมาณ PZT [9]

ปี.ศ. 2003-2004 Shifeng Huang และคณะ[10] ได้ให้ความสนใจในการศึกษาวัสดุ ผสมพิโซอิเลกทริกและปูนซีเมนต์ชั้ลเฟอร์อัลูมิเนต (sulfoaluminate cement) ซึ่งปูนซีเมนต์ชั้ลเฟอร์อัลูมิเนตจะมีสมบัติเด่นทางด้านมีความแข็งแรงสูงและสามารถด้านทานการกัดกร่อนได้ดีกว่าปูนซีเมนต์ธรรมชาติ นอกจากนี้กุญแจสำคัญคือ ลักษณะของสารที่เพิ่มเข้าไปในวัสดุ เช่น ฟลีฟายแอш หรือหินฟลีฟาย ซึ่งจะช่วยลดการกัดกร่อนของวัสดุ ทำให้สามารถคงทนและคงสภาพดีในระยะยาว

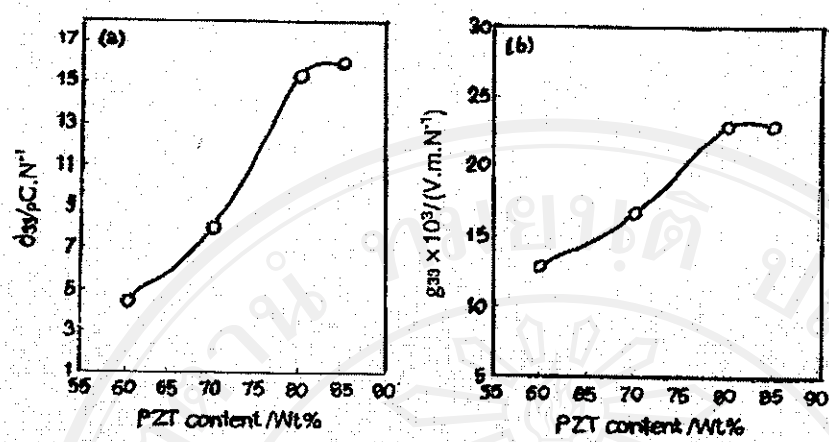
d_{33} สูงขึ้น จนถึง 4 kV ต่อ mm ค่า d_{33} จะเริ่มคงที่และลดลง และเวลาในการโพล พบร่วมกับ 45 นาที ค่า d_{33} จะเริ่มคงที่ เกิดจากการอั่มตัวของไดโพล ไมเมเนต์ ซึ่งผลการทดลองแสดงดังรูป 3.5 และ 3.6 นักงาน Shifeng Huang และคณะ ยังพบว่าเมื่อเพิ่มนปริมาณ PZT ในวัสดุผสม จะทำให้ค่า d_{33} สูงขึ้นซึ่งสอดคล้องกับผลการทดลองของ Zongjin Li, Dong Zhang และ Keru Wu ในปี ค.ศ 2002



รูป 3.5 ผลของค่า d_{33} ต่อ สนามไฟฟ้าที่ใช้ในการโพล [10]

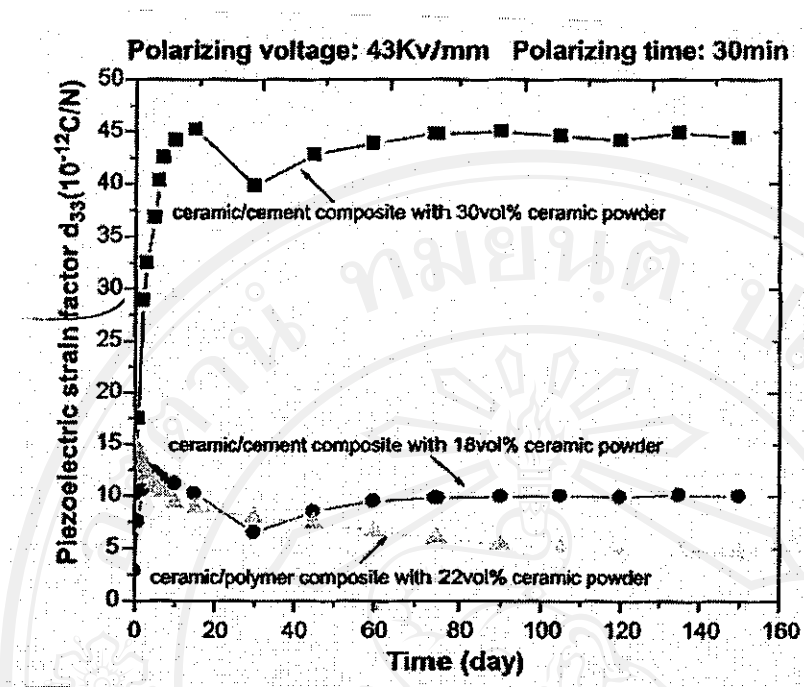


รูป 3.6 ผลของค่า d_{33} ต่อ เวลาที่ใช้ในการโพล [10]

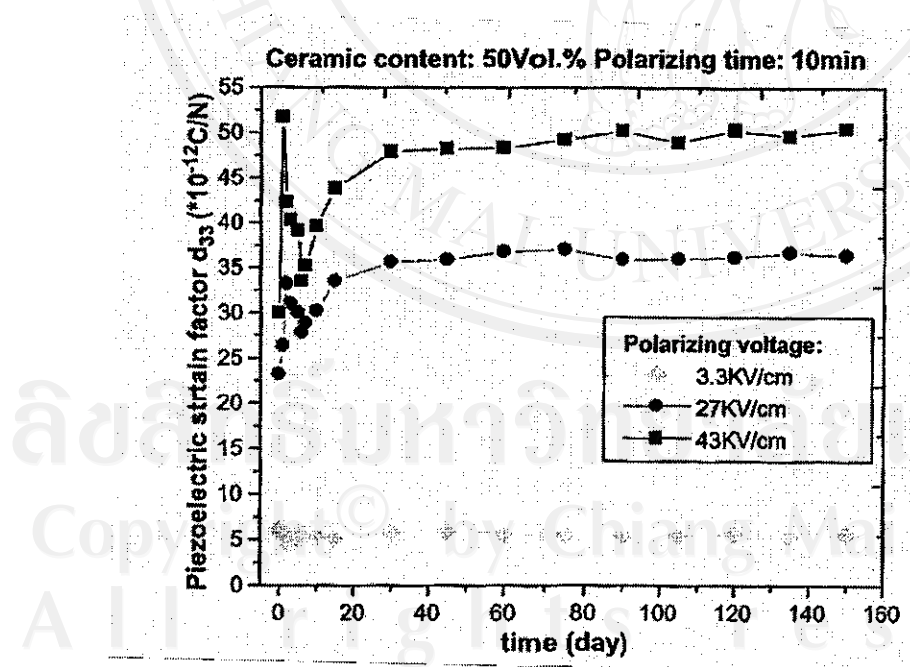


รูป 3.7 ผลของค่า d_{33} และ g_{33} ต่อ ปริมาณ PZT ในวัสดุผสม [10]

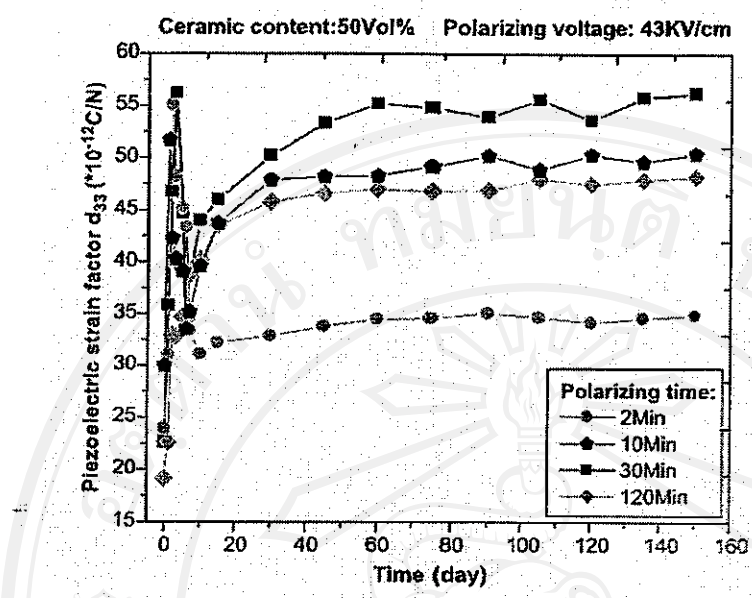
ปี.ศ. 2004 Zongjin Li, Biqin Dong และ Dong Zhang [11] ได้ทำการศึกษาถึง สมบัติพิโซอิเลกทริกและลักษณะเฉพาะของวัสดุพิโซอิเลกทริก ซึ่งจะเน้นไปทางความสัมพันธ์ของ ปัจจัยในการ โพล เช่น สนามไฟฟ้าที่ให้ เวลาที่ใช้ในการ โพล หรือ ปริมาณเดดเซอร์โโคเนต ไทด์ในระบบ และได้มีการเปรียบเทียบค่าที่ได้กับ วัสดุผสม เซรามิก-พอลิเมอร์อีกด้วย ซึ่งจากการ ทดลองพบว่าเมื่อเพิ่มสนามไฟฟ้า และ เวลา ในการ โพล เมื่อเพิ่มปริมาณเดดเซอร์โโคเนต ไทด์ในระบบ จะทำให้ได้ค่าสัมประสิทธิ์ความเครียดพิโซอิเลกทริกที่ดีขึ้น แสดงดังกราฟรูป 3.8-3.11 ซึ่งจะสอดคล้องกับงานวิจัยของ Shifeng Huang และคณะ ในปี.ศ. 2003-2004 เช่นกัน และ ยังให้ค่าที่สภาพยอมสัมพันธ์ และค่า d_{33} ดีกว่าวัสดุผสม เซรามิก-พอลิเมอร์อีกด้วย ซึ่งผลการ ทดลองแสดงดังตาราง 3.2



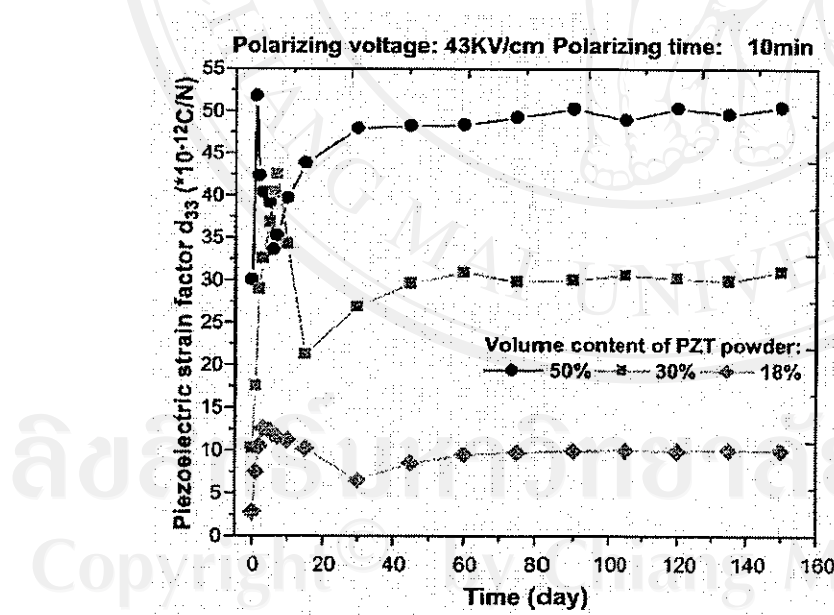
รูป 3.8 ความสัมพันธ์ของค่า d_{33} ต่อเวลาและปริมาณ PZT ในวัสดุผสมเซรามิก-ซีเมนต์ และวัสดุผสมเซรามิก-พอลิเมอร์ [11]



รูป 3.9 ความสัมพันธ์ของค่า d_{33} ต่อเวลาและสถานที่ไฟฟ้าที่ใช้ในการโพล [11]



รูป 3.10 ความสัมพันธ์ของค่า d_{33} ต่อเวลาและระยะเวลาในการโพล [11]

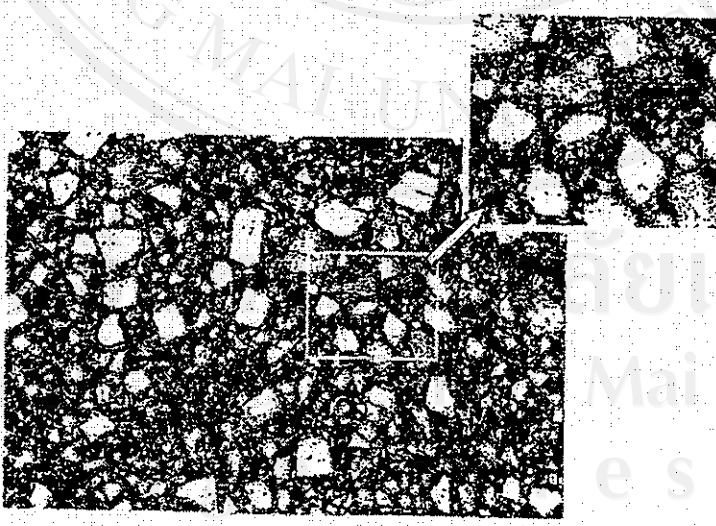


รูป 3.11 ความสัมพันธ์ของค่า d_{33} ต่อเวลาและปริมาณ PZT ในวัสดุผสม [11]

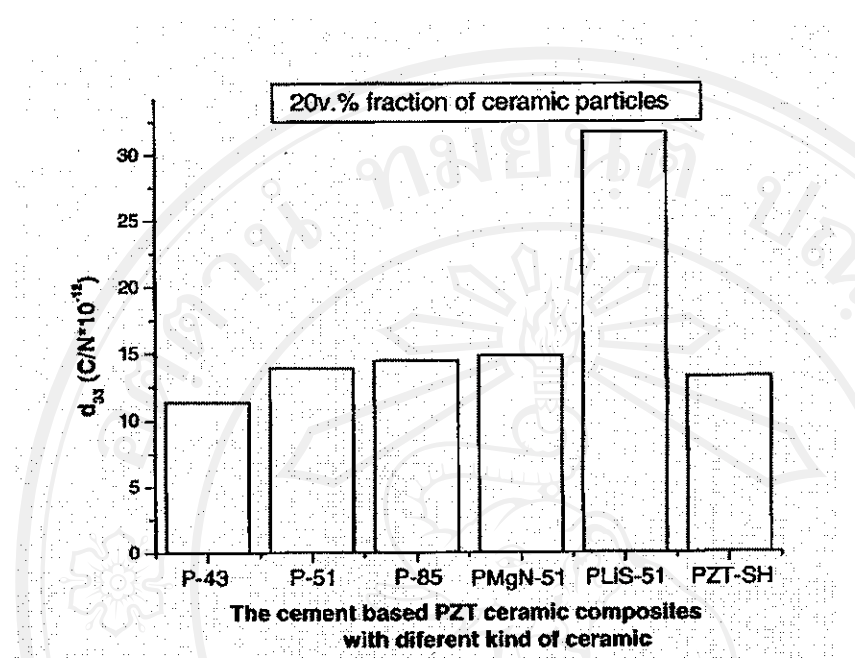
ตาราง 3.2 การเปรียบเทียบค่า ϵ_r และ d_{33} ของวัสดุพสมเซรามิก-ซีเมนต์และวัสดุพสมเซรามิก-โพลิเมอร์ [11]

Material	ϵ_r	d_{33}
Ceramic PZT	3000	500
PZT/PVDF	120	20
PZT/rubber	55	35
PZT/POM	95	17
PZT/cement	300	55

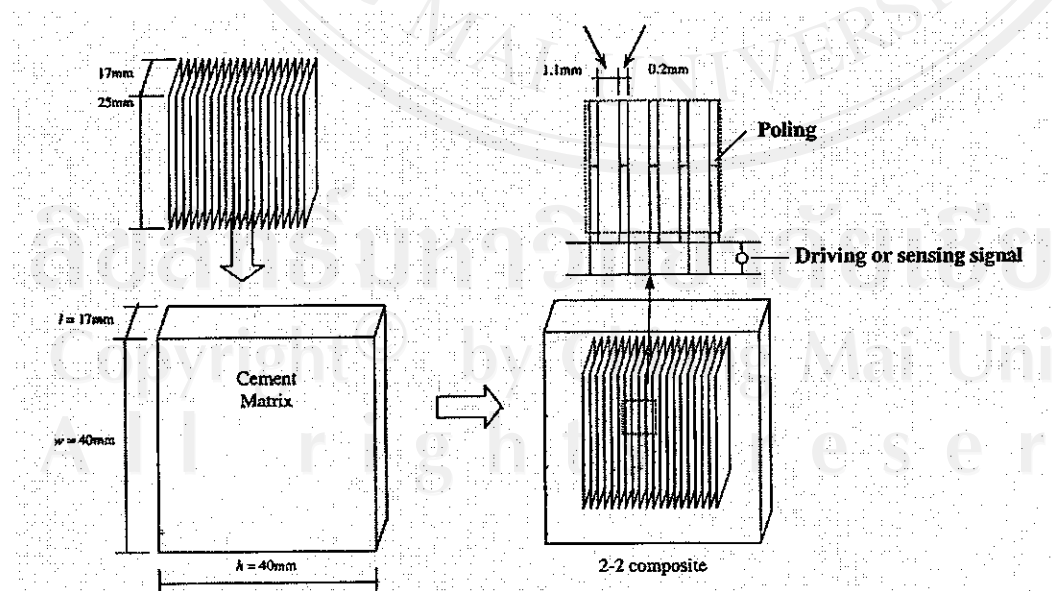
ปีค.ศ. 2005 Biqin Dong และ Zongjin Li [12] ได้ทำการศึกษาถึงการเชื่อมต่อของวัสดุพสมในแบบ 2-2 เพิ่มเข้ามาอีกด้วย และยังศึกษาถึงผลการทดสอบความสามารถในการเป็นตัวขับเร้า (actuator) และเซ็นเซอร์ (sensor) ซึ่งผลที่ได้เป็นที่น่าพอใจแต่ยังไม่ดีพอในการนำไปใช้งานได้จริง ซึ่ง Biqin Dong และ Zongjin Li ได้นำเสนอ โครงสร้างทางจุลภาคของวัสดุพสมที่ถ่ายด้วยกล้อง SEM ดังรูป 3.12 กราฟแสดงความสัมพันธ์ของค่า d_{33} ของวัสดุพสมเซรามิก-ซีเมนต์ที่มีประเภทของเซรามิกที่ต่างกัน ดังรูป 3.13 และยังแสดงแบบจำลองการวัดค่าของวัสดุพสมเซรามิก-ซีเมนต์แบบ 2-2 ดังรูป 3.14



รูป 3.12 โครงสร้างทางจุลภาคของวัสดุพสมที่ถ่ายด้วยกล้อง SEM [12]

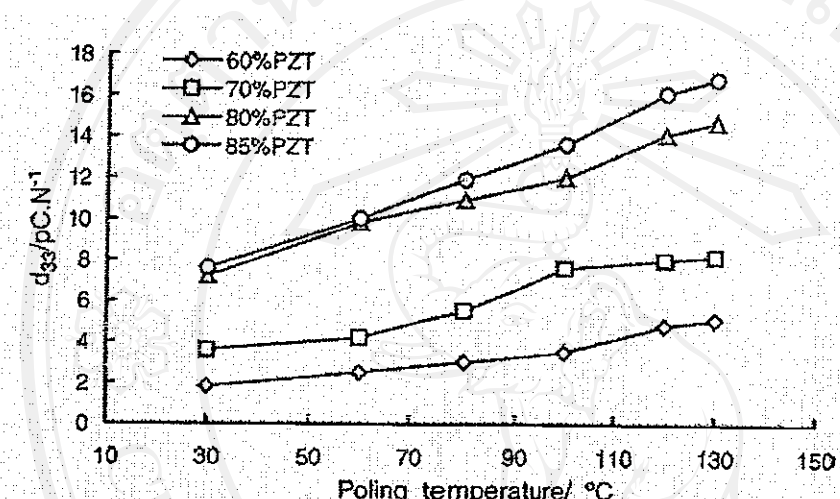


รูป 3.13 กราฟแสดงความสัมพันธ์ของค่า d_{33} ของวัสดุสมเซรามิก-ซีเมนต์ที่มีประเภทของเซรามิกที่ต่างกัน [12]



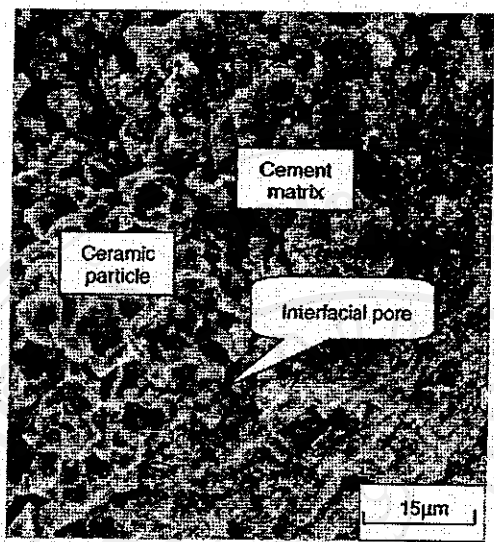
รูป 3.14 แบบจำลองการวัดค่าของวัสดุสมเซรามิก-ซีเมนต์ แบบ 2-2 [12]

ปีค.ศ. 2005 Shifeng Huang และคณะ[13] ยังได้ทำการศึกษาเพิ่มเติมถึงผลของอุณหภูมิในการโพล แสดงดังรูป 3.15 กล่าวที่จะทำการวัดค่าสัมประสิทธิ์ความเครียดพิโซอิเลกทริก ซึ่งพบว่า อุณหภูมิที่ใช้ในการทำโพลที่เหมาะสมจะอยู่ประมาณ 120 องศาเซลเซียส เนื่องจากว่าที่อุณหภูมิสูง กว่านี้ค่าสัมประสิทธิ์ความเครียดพิโซอิเลกทริกจะมีค่าลดลง

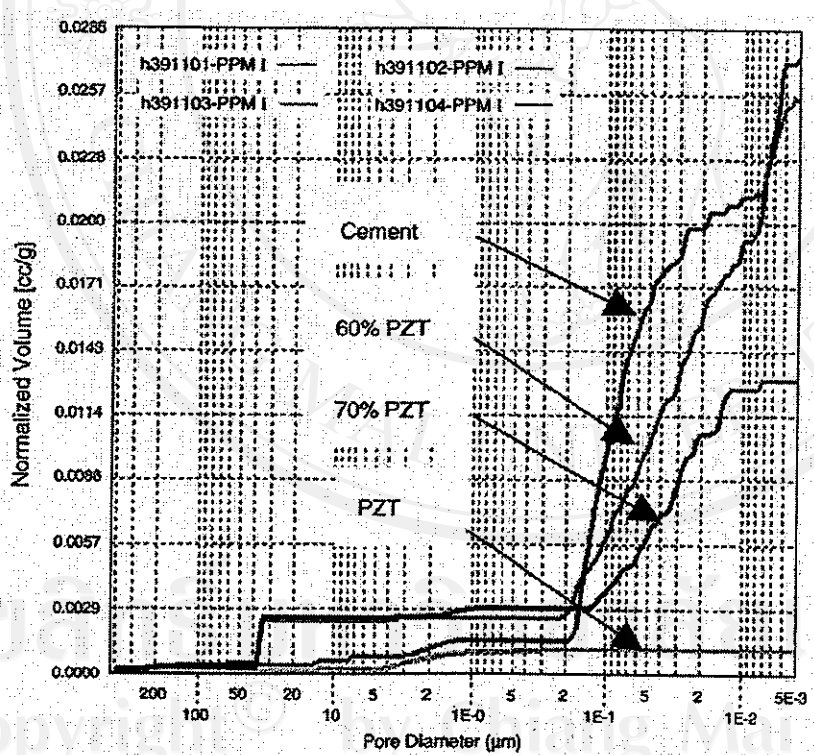


รูป 3.15 ค่า d_{33} และอุณหภูมิในการโพล [13]

นอกจากนี้ Shifeng Huang และคณะ ยังได้ศึกษาโครงสร้างทางจุลภาคของวัสดุผสมพิโซอิเลกทริกและบุนซีเมนต์ชัลเฟอร์อุบมิเนต และ โครงสร้างของรูพรุน ด้วยกล้อง SEM แสดงดัง รูป 3.16 และ 3.17 ซึ่งพบว่ารูพรุนที่มีภายในโครงสร้างของวัสดุผสมและท่อญี่บริเวณรองต่อระหว่าง เฟล็กของวัสดุผสม จะส่งผลทำให้เกิดกระแสรั่ว (leakage current) ใน การ โพล ทำให้ โพล ได้ยาก



รูป 3.16 รูปทรงหัวง่ายต่อของเซรามิก PZT และซีเมนต์เมท里ค์[13]



รูป 3.17 การวิเคราะห์โครงสร้างรูปทรงของ PZT, วัสดุผสม และ ซีเมนต์ด้วย Quanta Chrome

POREMASTER-60 Automatic Pore Size Analyzers[13]